

東京工業大学 正員 山口 柏樹

静止土圧の概念は擁壁、地中壁、埋設管の土圧評価や、深い基礎の支持力または巻立てたシャフトの土圧を求める場合に必要なものであって関係する分野は、かなり広い。静止土圧を表すする試みとして、応力集中係数、弾性ボアソン比を用いる方法などでは、係数を求める上で問題があ。

周知のごとく静止土圧には主動的(載荷時)と受動的(除荷時)なものがある。主動的^{4), 5), 6), 7)} 静止土圧の理論式として Jaky³⁾ の式は有名であり、実験的にも多くの検証がなされている。^{4), 5), 6), 7)} 彼の勾配が ϕ である三角形砂芯内に $\pi/4 + \phi/2$ の三角形コア部を考え、その応力状態を、外側の土が塑性化してるとして定めた。その結果、コア中心線上の静止土圧係数 K_0 として次式を求めている。

$$K_0 = \frac{(1 - \sin \phi)(3 + 2 \sin \phi)}{3(1 + \sin \phi)} \approx 0.9(1 - \sin \phi) \quad (1)$$

なお

$$K_0 = 1 - \sin \phi \quad (2)$$

は、その後の実験結果を用いて(1)を修正したもので、Jaky の式といわれている。Tschebotaroff⁸⁾ は Jaky の解析で、コア内の水平方向の剪断応力を変化することは半無限土中応力と対比し難いとして批判し、「静止土圧の測定値を土の物理的性質(今后規定するべきものも含む)と数量的に関連させたため、なお一層の理論的、実験的研究が必要である」と述べている。赤井⁹⁾ は非塑性状態での K_0 が ϕ に關係する点が問題だとしている。

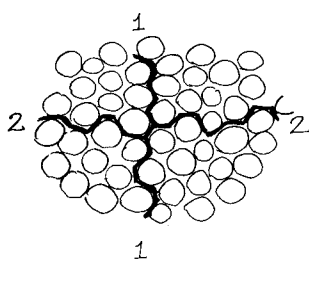
(2) で $\phi = \phi'$ における K_0 は粘性土にも適用できる(Brooker¹⁰⁾ は $1 \rightarrow 0.95$ を示してゐる)が、粘土に関して Rowe¹¹⁾ は別の見地から K_0 式を提案している。これは釣合時に發揮される摩擦角 ϕ_{em} により

$$K_0 = \tan^2(\pi/4 - \phi_{em}/2) \quad (3)$$

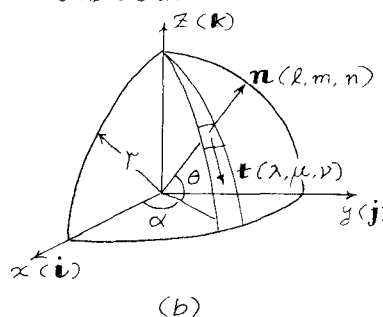
であり、 ϕ_{em} は Hvorslev の ϕ に等しいとしている。しかし砂では $\phi = \phi'$ だから(3)の K_0 は過小値を与え難い。砂の場合 Rowe¹²⁾ は思想的には変らないが別のアプローチを行つた。そこでは圧縮時の剪断ひずみに対応して発揮される摩擦角 ϕ_{em} を利用すべきだとしている。これら一連の研究では非塑性状態の摩擦が K_0 に本質的に關係するとする点、前述の批判に一部答えたものである。

本文では砂、粘土を通じ K_0 の値を説明しうる理論式について述べる。

§1 粒子論的考察



(a)



$$\begin{aligned} l &= \cos \theta \cos \alpha \\ m &= \cos \theta \sin \alpha \\ n &= \sin \theta \\ \lambda &= \sin \theta \cos \alpha \\ \mu &= \sin \theta \sin \alpha \\ \nu &= -\cos \theta \end{aligned}$$

図-1

土粒子の集まりの中に各粒子の接触共通表面を連ねた層曲面 1-1, 2-2 を想定する。1-1 は圧縮方向, 2-2 は K_0 土圧作用方向とする(図-1)。これら素面は半径十の半球面上に重複したり¹⁰⁾、またりすることなく貼り付けられるとする。素面に働く垂直応力 σ は、釣合時には方向に余り関係しない¹¹⁾。圧縮時の粒子相互の移動を考えると、接臭摩擦力は τ の方向(延長が又軸と交叉する)であり、その値は粘土でも摩擦成分のみと考えられ⁹⁾、 $p \tan \phi_\mu$ となる。 ϕ_μ は粒子間の実の摩擦角である。これら走力成分と釣合う面 $x=0$ に作用する力は垂直力 F_y のみであつて

$$F_y = 4pt^2 \iint_{\text{面}} \{(\mathbf{n} \cdot \mathbf{j}) - (\mathbf{t} \cdot \mathbf{j}) \tan \phi_\mu\} dS = \pi pt^2 \left(1 - \frac{2}{\pi} \tan \phi_\mu\right)$$

同様に面 $x=0$ 上に働く垂直力 F_x を求めると

$$K_0 = \frac{F_x / \pi t^2}{F_y / \pi t^2} = \frac{1 - (2/\pi) \tan \phi_\mu}{1 + (\pi/2) \tan \phi_\mu} \quad (4)$$

として

$$\text{i)} \tan \phi_\mu = (2/\pi) \tan \phi' \quad \text{ii)} \tan \phi_\mu = \frac{10 \sin \phi'}{15 - 3 \sin \phi'} \quad (5)$$

などがある。i) を用いると (4) は

$$K_0 = (1 - 0.404 \tan \phi') / (1 + \sin \phi') \quad (6)$$

§ 2 各種の K_0 の値

K_0 を ϕ' に対して示す(図-2)。(2), (6)の差は最大4%で、はゞ一致する。図-3 は2, 3の実測結果をまとめたもので、実測値には実験方法も影響するようである。図-2 には(3)で $\phi_{em} \rightarrow \phi_\mu$ として i) を用いた関係も示してある。また印はドブロフの土圧論を用いてえられる関係式; $K_0 = 1 - \phi$ のプロットである。

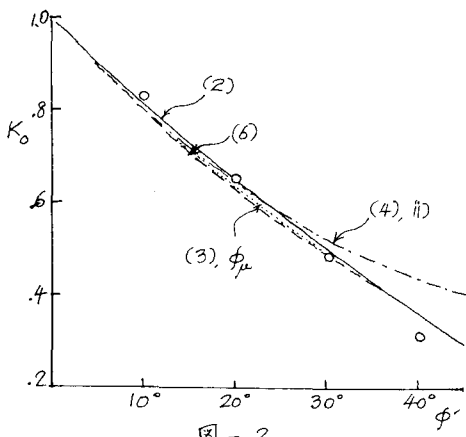


図-2

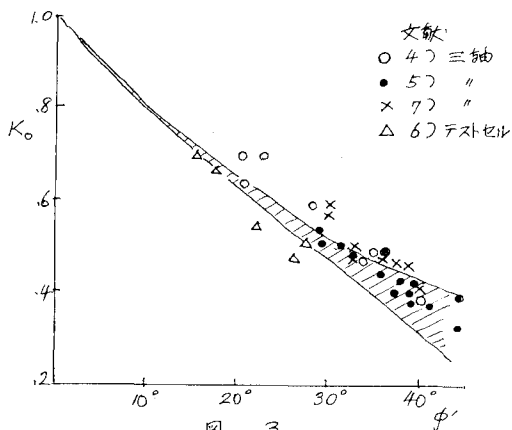


図-3

- 1) Ohde, J. (1939) Bauingenieur, Heft 33/44, 2) Tschebotaroff, G. (1951) Soil Mechanics foundation & earth pressure (247~259), 3) Jaky, J. (1944) J. Hungarian Arch. & Engrs (355~358), 4) Bishop, A.W. (1958) Proc. Brussel Conf. I (2~14)
- 5) Simons, N. (1960) NGI, Publ. No. 33, 6) Brooker, E.W., Ireland, H.O. (1965) Canad. Geotech. J., II (1~15), 7) 市井一足(1965)土木編文庫 No.113 (11~28), 8) Jaky, J. (1948) Proc. 2. ICSM, I (103~107), 9) Rowe, P.W. (1957) Proc. 4. ICSM, I (189~192), 10) Rowe, P.W. (1954) Geotech. IV (70~88), 11) 長上武雄(1969)土質力学 (978~980)
- 12) 村山邦印, 松岡元(1970)第1回防災研年報 13, B (505~523), 13) Bishop, A.W. (1954) Geotech. IV (43~45), 14) ドブロフ 土圧計算方法, 原田訳 (47~51)